

Zeitschrift: Bulletin de la Société botanique de Genève
Herausgeber: Société botanique de Genève
Band: 18 (1926)
Heft: 1

Anhang: Planches

Nutzungsbedingungen

Die ETH-Bibliothek ist die Anbieterin der digitalisierten Zeitschriften auf E-Periodica. Sie besitzt keine Urheberrechte an den Zeitschriften und ist nicht verantwortlich für deren Inhalte. Die Rechte liegen in der Regel bei den Herausgebern beziehungsweise den externen Rechteinhabern. Das Veröffentlichen von Bildern in Print- und Online-Publikationen sowie auf Social Media-Kanälen oder Webseiten ist nur mit vorheriger Genehmigung der Rechteinhaber erlaubt. [Mehr erfahren](#)

Conditions d'utilisation

L'ETH Library est le fournisseur des revues numérisées. Elle ne détient aucun droit d'auteur sur les revues et n'est pas responsable de leur contenu. En règle générale, les droits sont détenus par les éditeurs ou les détenteurs de droits externes. La reproduction d'images dans des publications imprimées ou en ligne ainsi que sur des canaux de médias sociaux ou des sites web n'est autorisée qu'avec l'accord préalable des détenteurs des droits. [En savoir plus](#)

Terms of use

The ETH Library is the provider of the digitised journals. It does not own any copyrights to the journals and is not responsible for their content. The rights usually lie with the publishers or the external rights holders. Publishing images in print and online publications, as well as on social media channels or websites, is only permitted with the prior consent of the rights holders. [Find out more](#)

Download PDF: 17.04.2026

ETH-Bibliothek Zürich, E-Periodica, <https://www.e-periodica.ch>

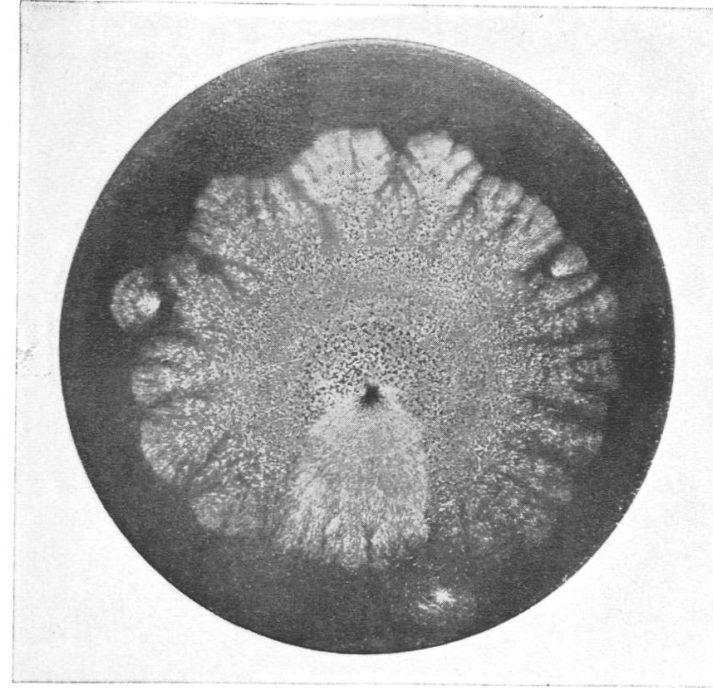
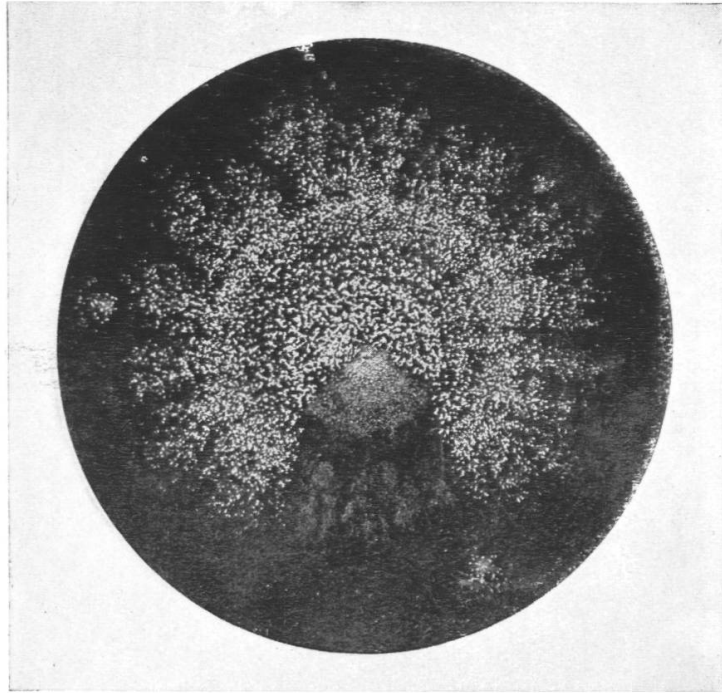


Fig. 1. — (planche I) Secteur γ apparu dans une colonie d'*A. ochraceus* α . — A droite, lumière rasante, mycélium aérien visible, à gauche, mycélium interne vu par transparence.

Planche II.

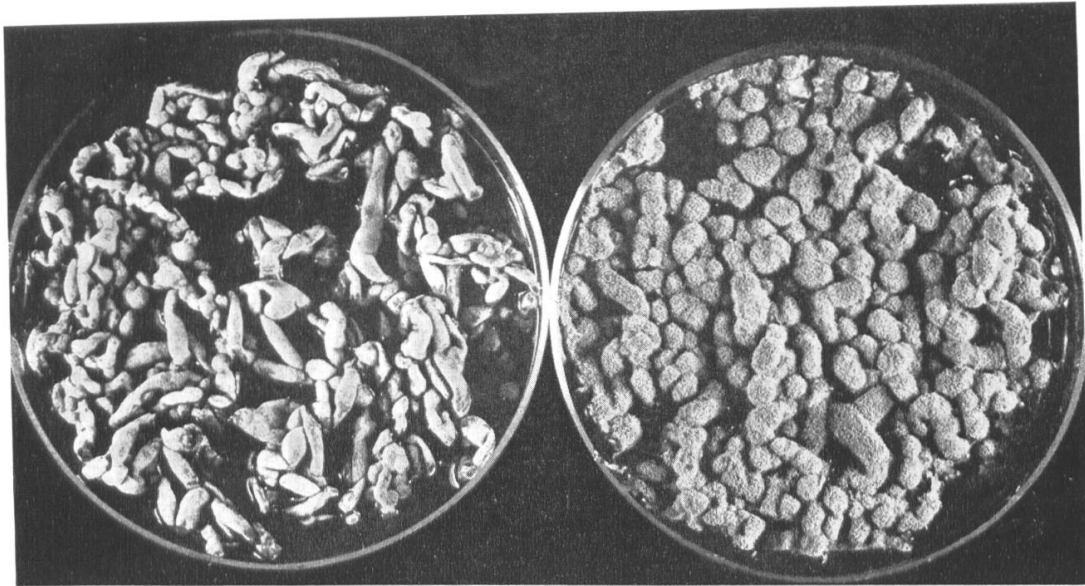


Fig. 6. — *A. ochraceus* sur milieu liquide de Raulin ; à gauche, race γ , à droite race α .
Age : 13 jours.

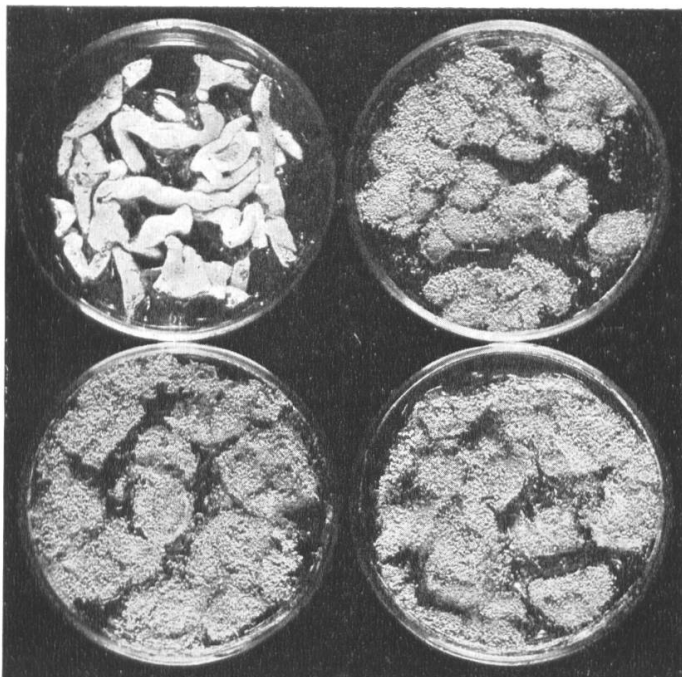


Fig. 7. — *A. ochraceus*, sur milieu liquide de Raulin. En haut, à gauche, γ qui fournit
par mutation α_M ; en bas, à gauche. A droite α qui reste constant.

Planche III.

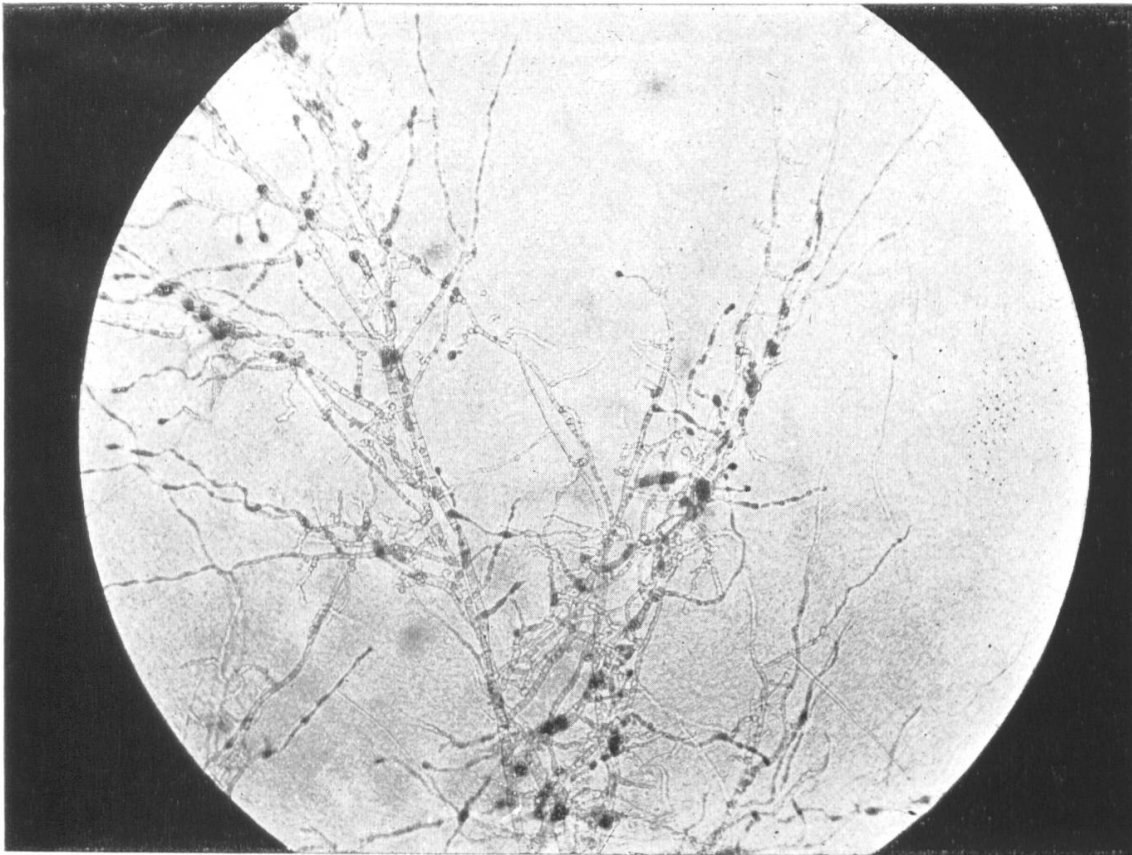
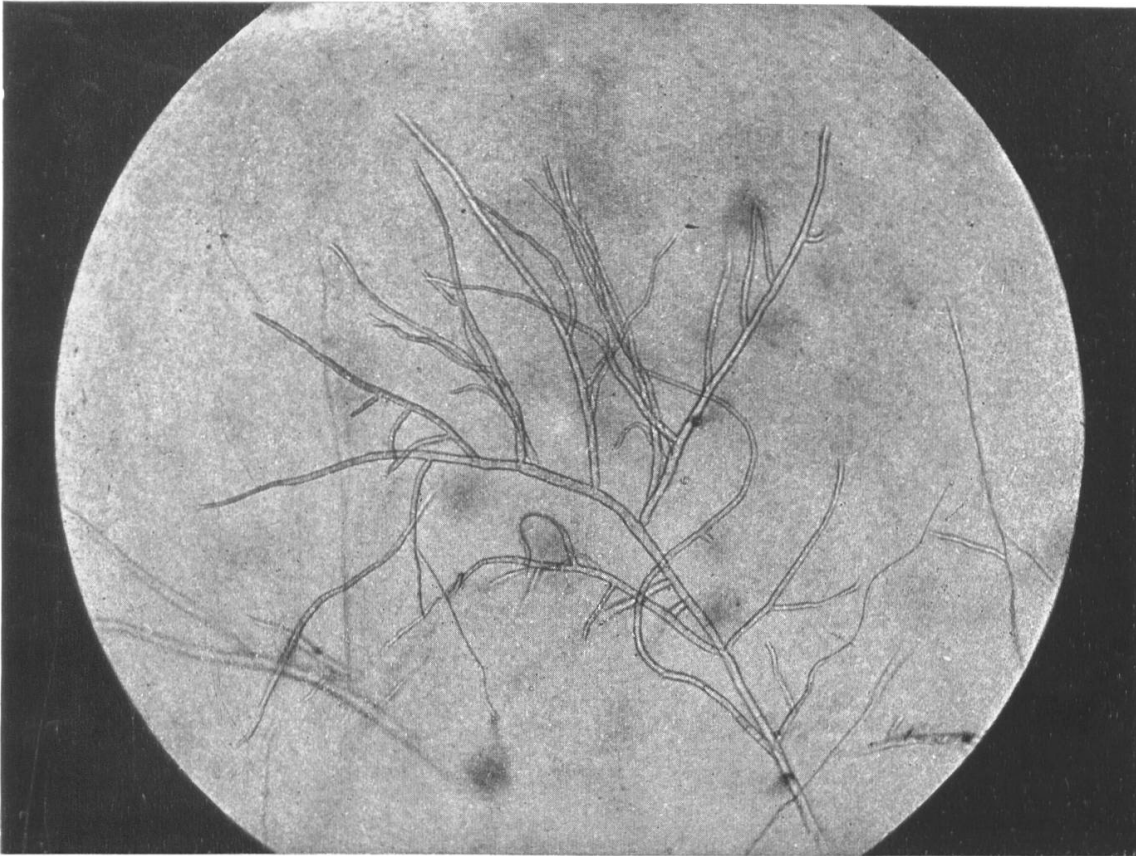


Fig. 19. — En haut : ramification de la race W. — En bas : ramification de la race V.
Photographié sur les cultures.

Planche IV.

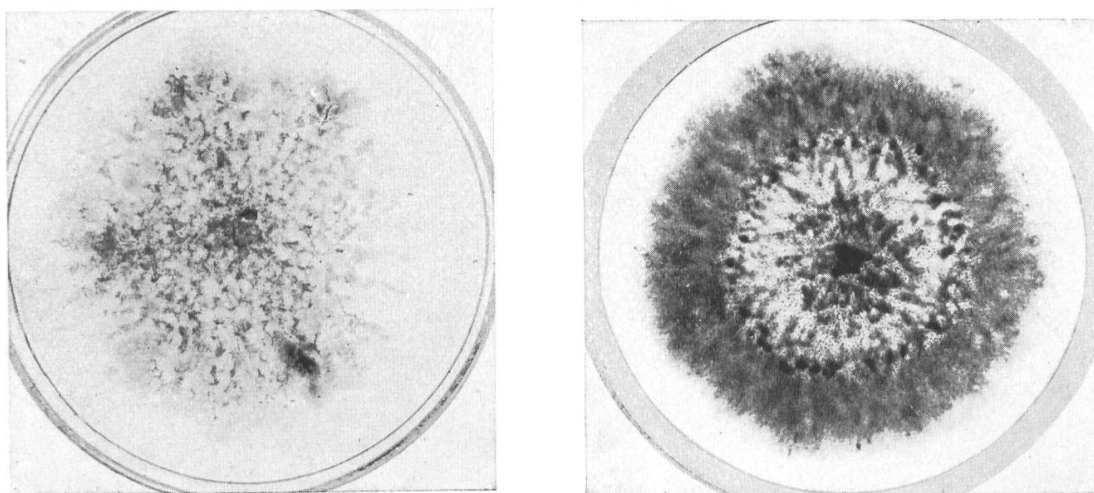


Fig. 21. — Colonies de *P. alternariacearum*. V. à gauche, W à droite, sur milieu Coonagar à base de Saccharose.

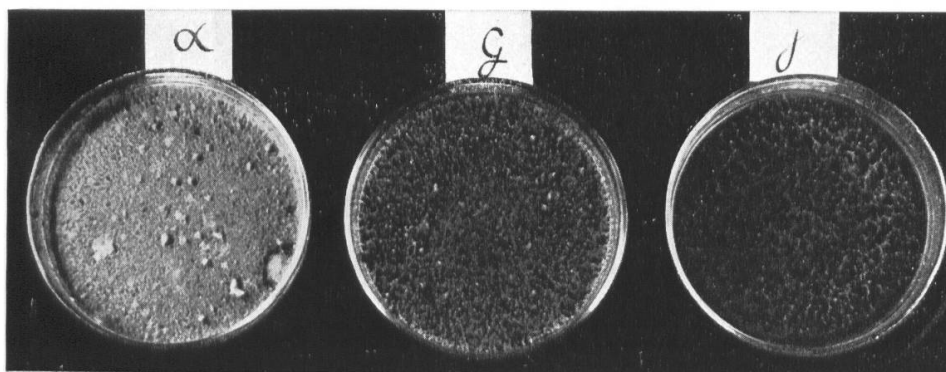


Fig. 23. — Croissance comparée des trois races sur milieu Coonagar. Cultures d'un mois.

Planche V.

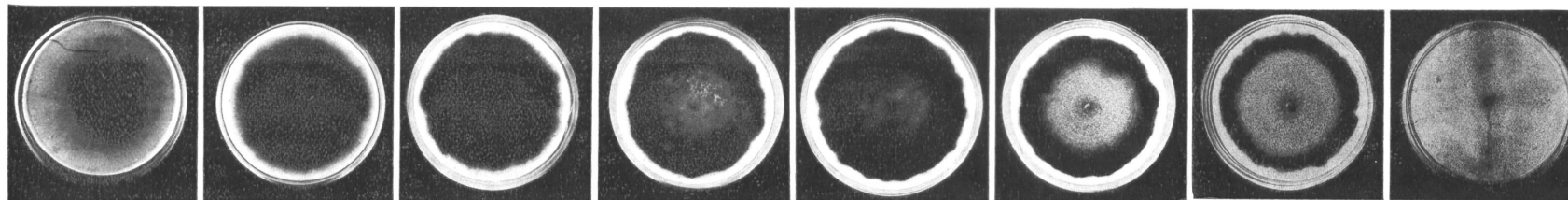


Fig. 24. — Race γ du *P. alter*. sur milieu Coonagar dont la teneur normale en asparagine varie de gauche à droite : 0, 3, 6, 12, 25, 50, 75, 100 %.

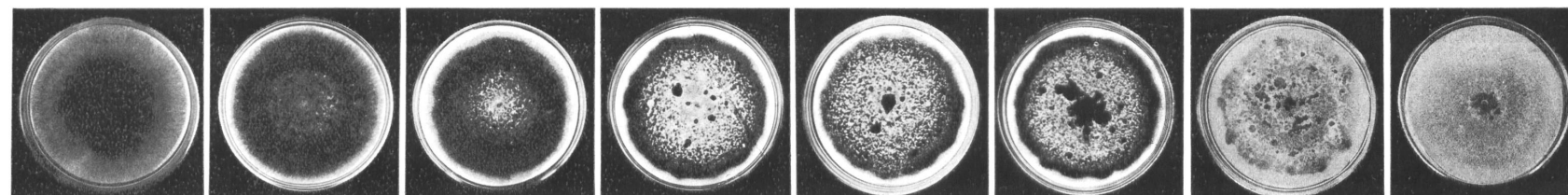


Fig. 25. — Race W, milieu idem; l'asparagine varie de gauche à droite : 0, 3, 6, 12, 25, 50, 75, 100 %.

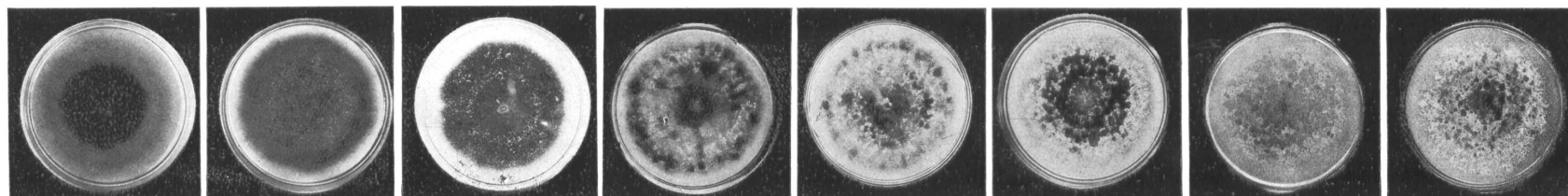


Fig. 26. — Race V. Milieu idem; l'asparagine varie de gauche à droite de : 0, 3, 6, 12, 25, 50, 75, 100 %.

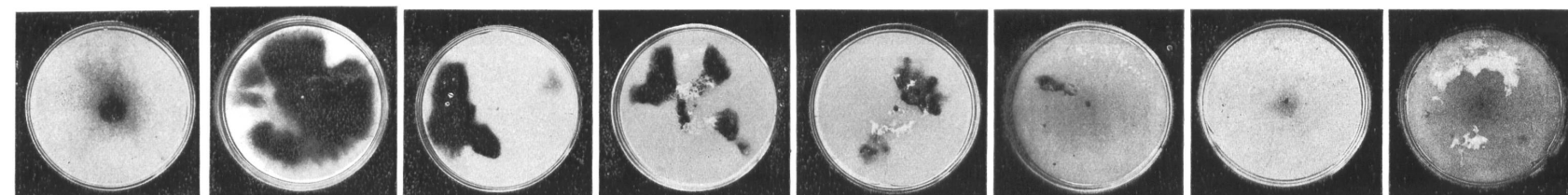


Fig. 27. — Souche B. Milieu idem; l'asparagine varie de gauche à droite de : 0, 6, 12, 25, 33, 50, 75, 100 %.

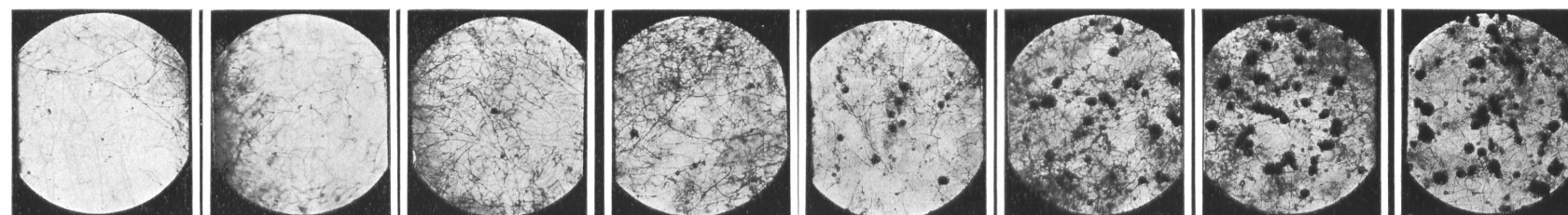


Fig. 28. (microphotographie voir p. 105). — Race γ sur milieu Coonagar dont la teneur normale en asparagine varie de gauche à droite de : 0, 3, 6, 12, 25, 50, 75, 100 %.

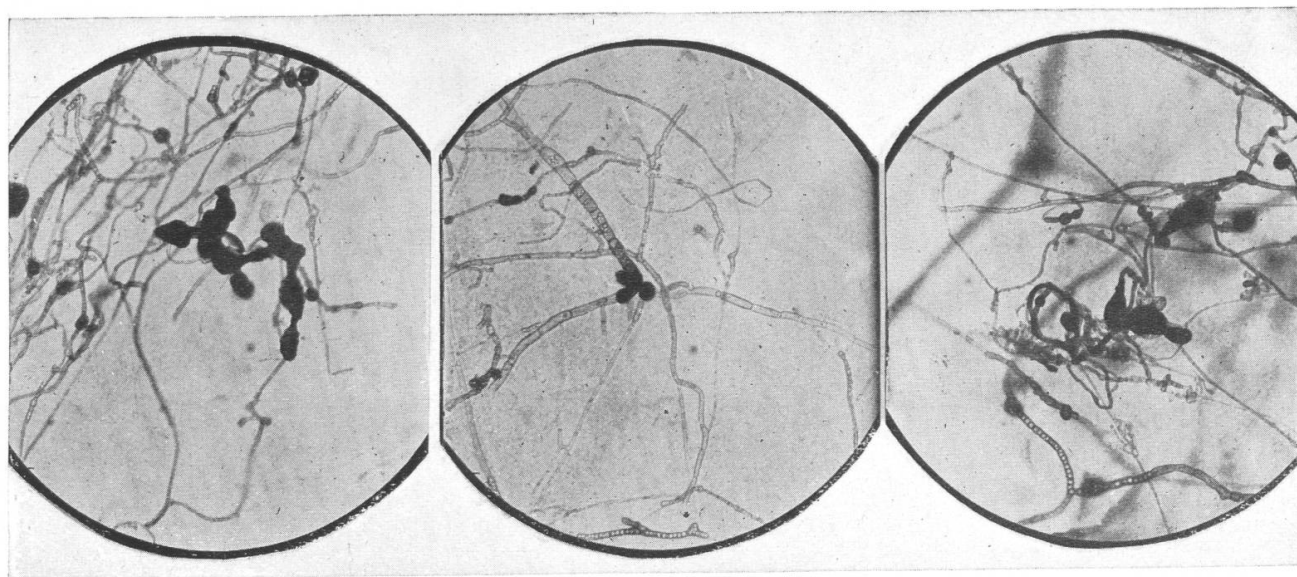


Fig. 29. — Photographies des hyphocystes apparues sur des milieux Coonagar sans asparagine pour les races α , G, γ .

α

G

γ

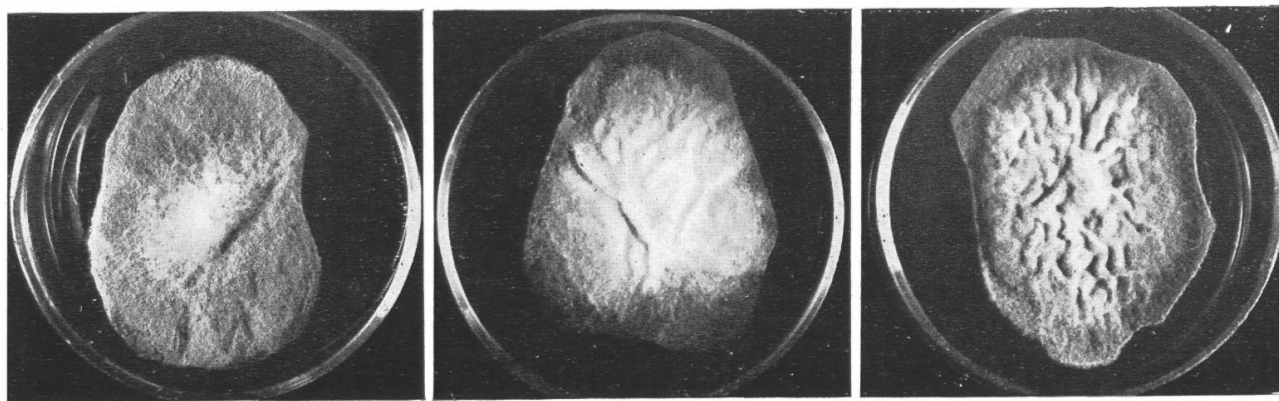


Fig. 32. — Croissance des races α , G, γ , sur des rondelles de pomme de terre.

Planche VII.

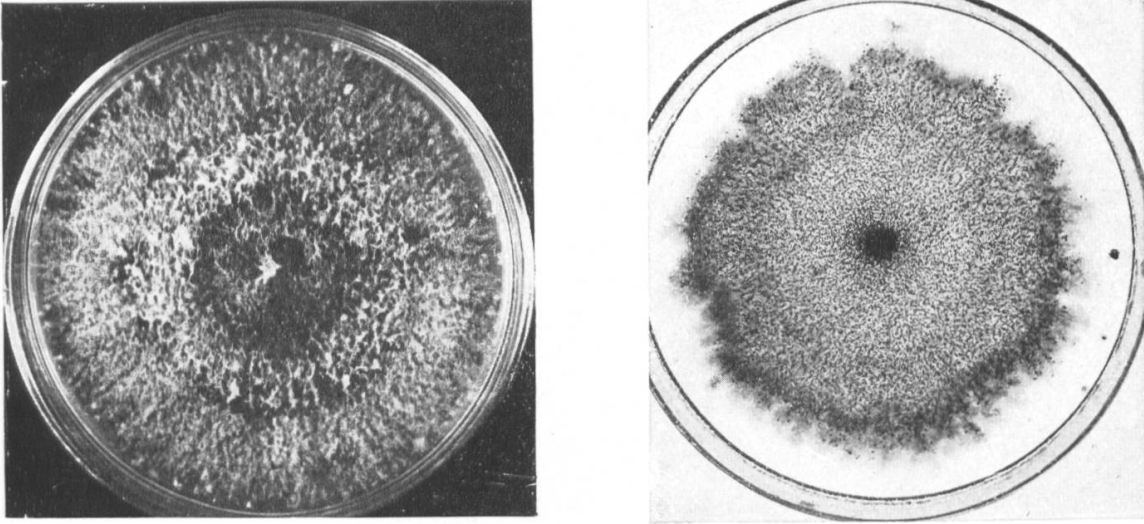


Fig. 30. — A gauche, race α , à droite race γ sur milieu Coonagar.

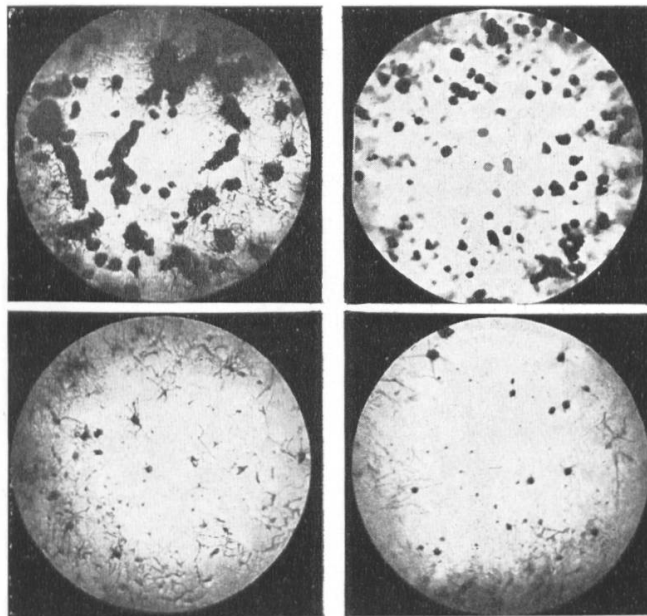


Fig. 31. — Comparaison des pycnides de la race α , haut gauche, et de la race γ , haut droite (Coonagar). En bas, les mêmes sur milieu amido-agar.

Planche VIII.

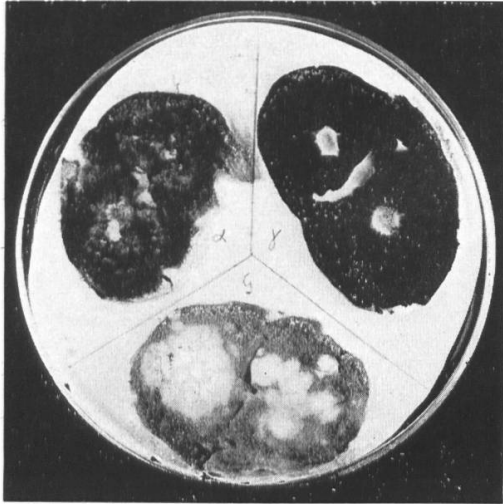


Fig. 33. — Milieu pomme de terre.

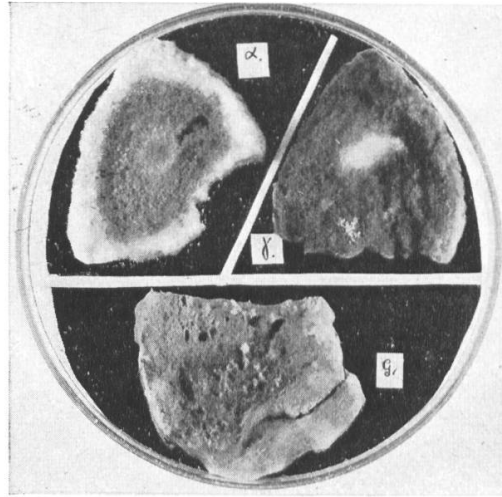


Fig. 35. — Milieu pain.

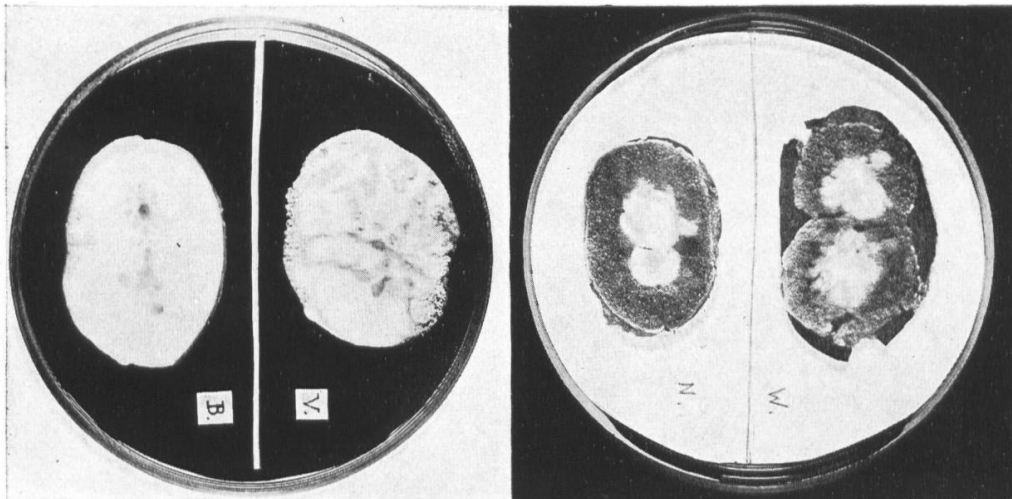


Fig. 34. — Milieu pomme de terre.

Planche IX.

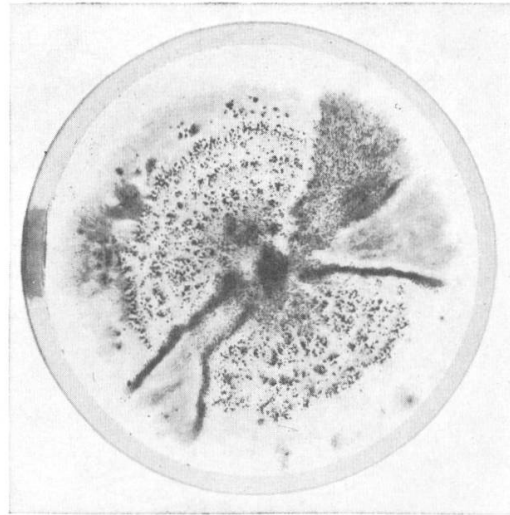


Fig. 39. — Boîte sectorienne No 5.

← γ

← stérile.

← α

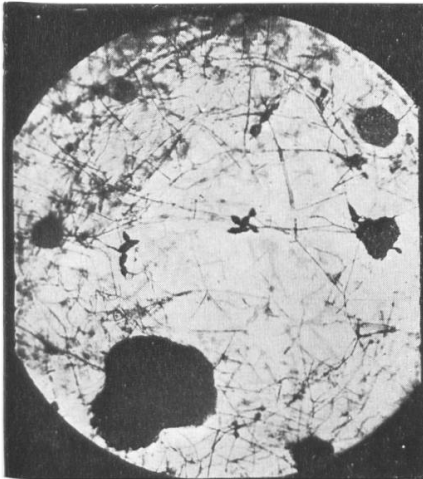


Fig. 40. — Zone α pycnides et hypnocystes.

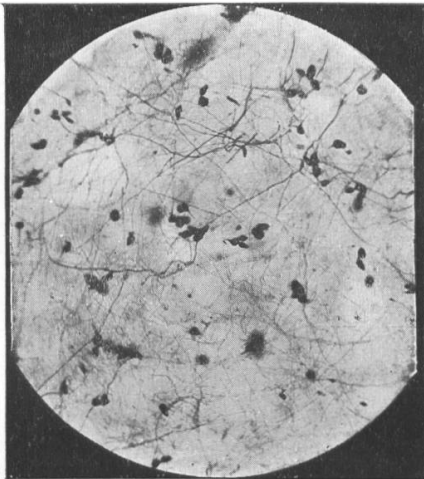


Fig. 44. — Zone stérile hypnocystes.

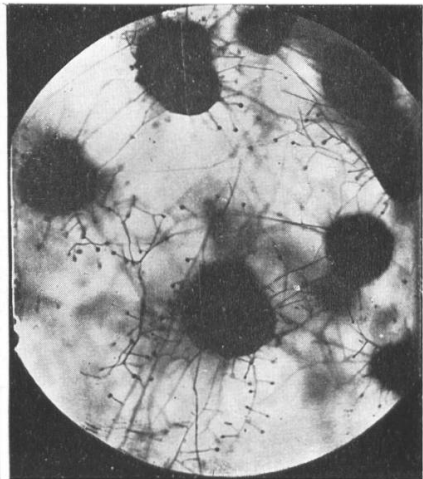


Fig. 43. — Zone γ ; pycnides.

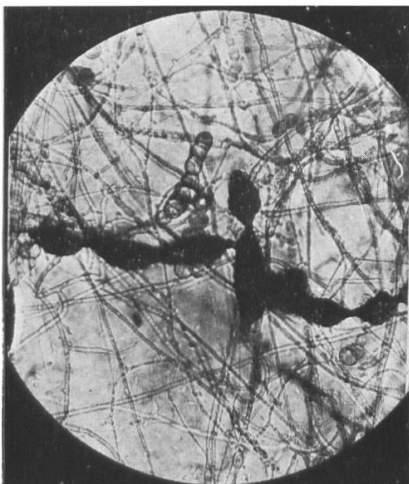


Fig. 41. — Zone α hypnocystes.

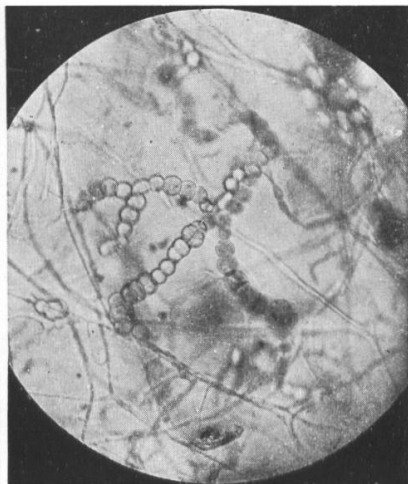


Fig. 42. — Zone α Strepto-hypnocystes.

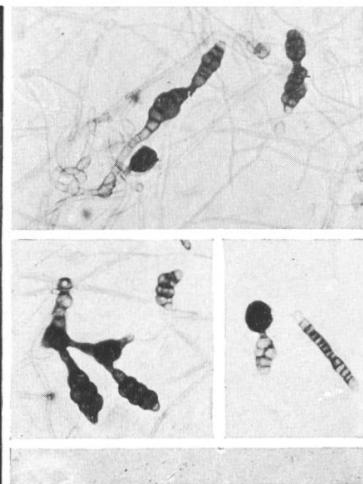


Fig. 45. — Zone stérile, hypnocystes.

Planche X.

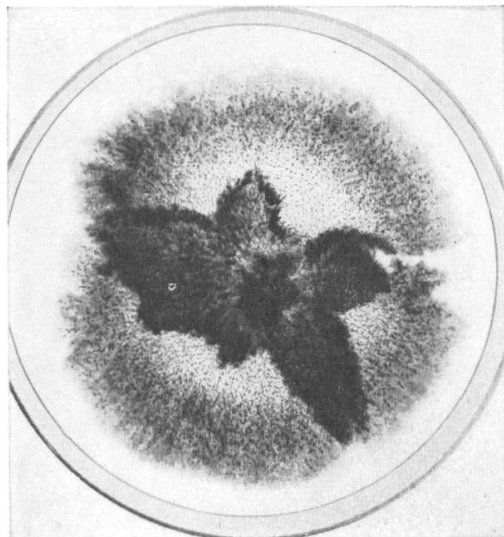


Fig. 46. — Boîte sectorienne No 6 :
Race γ sur Coonagar.

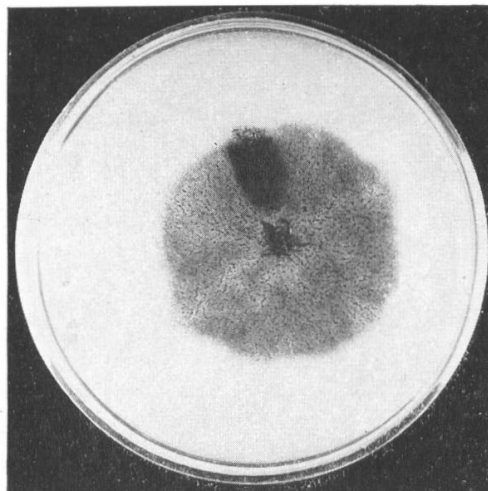


Fig. 48. — Boîte sectorienne No 11 :
Race γ sur Coonagar-saccharose.

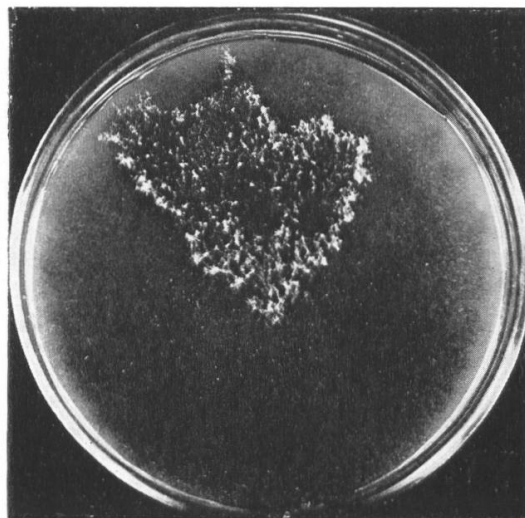
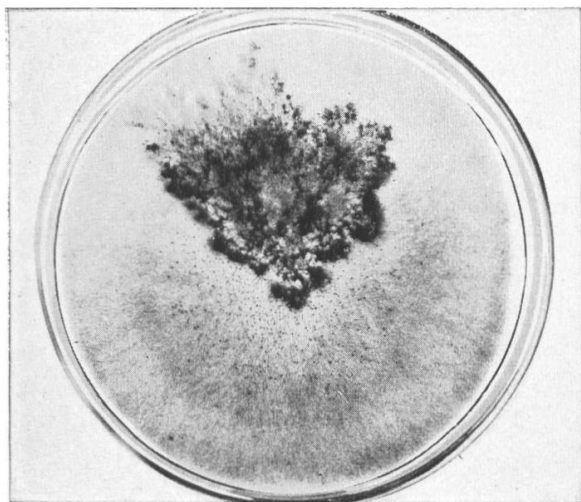


Fig. 47. — Boîte sectorienne No 7 : Race γ sur milieu amidon-agar. A gauche, lumière transparente ; à droite, lumière rasante.

Planche XI.

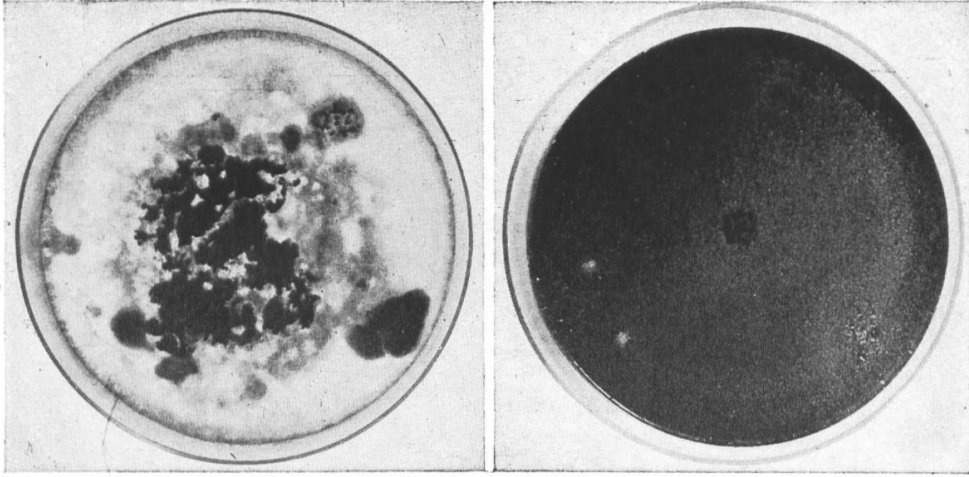


Fig. 36. — A gauche, race V ; à droite, race W sur moût-agar neutre.

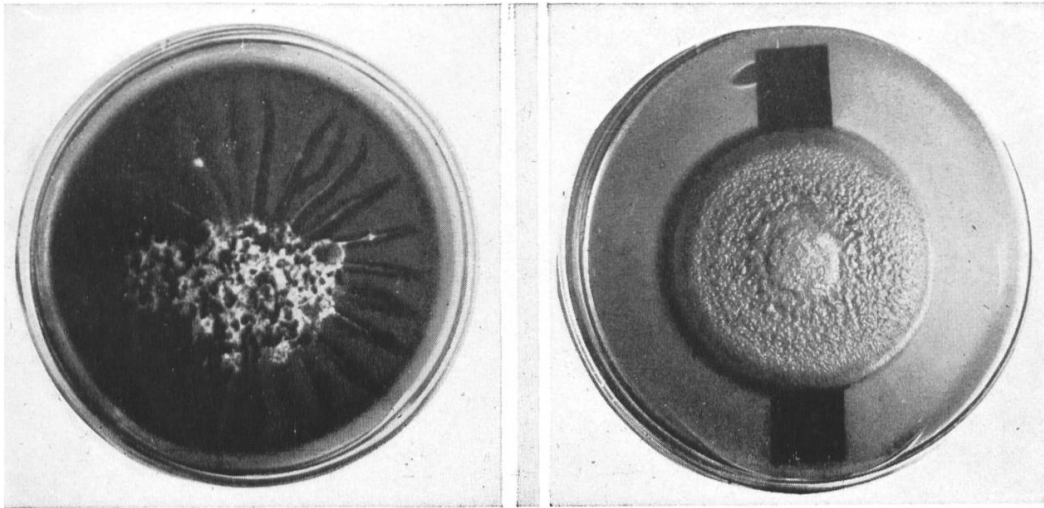


Fig. 49. — Race V sur moût-agar acide. Même souche de départ ; à gauche, forme mutée ; à droite, forme normale.

Planche XII.

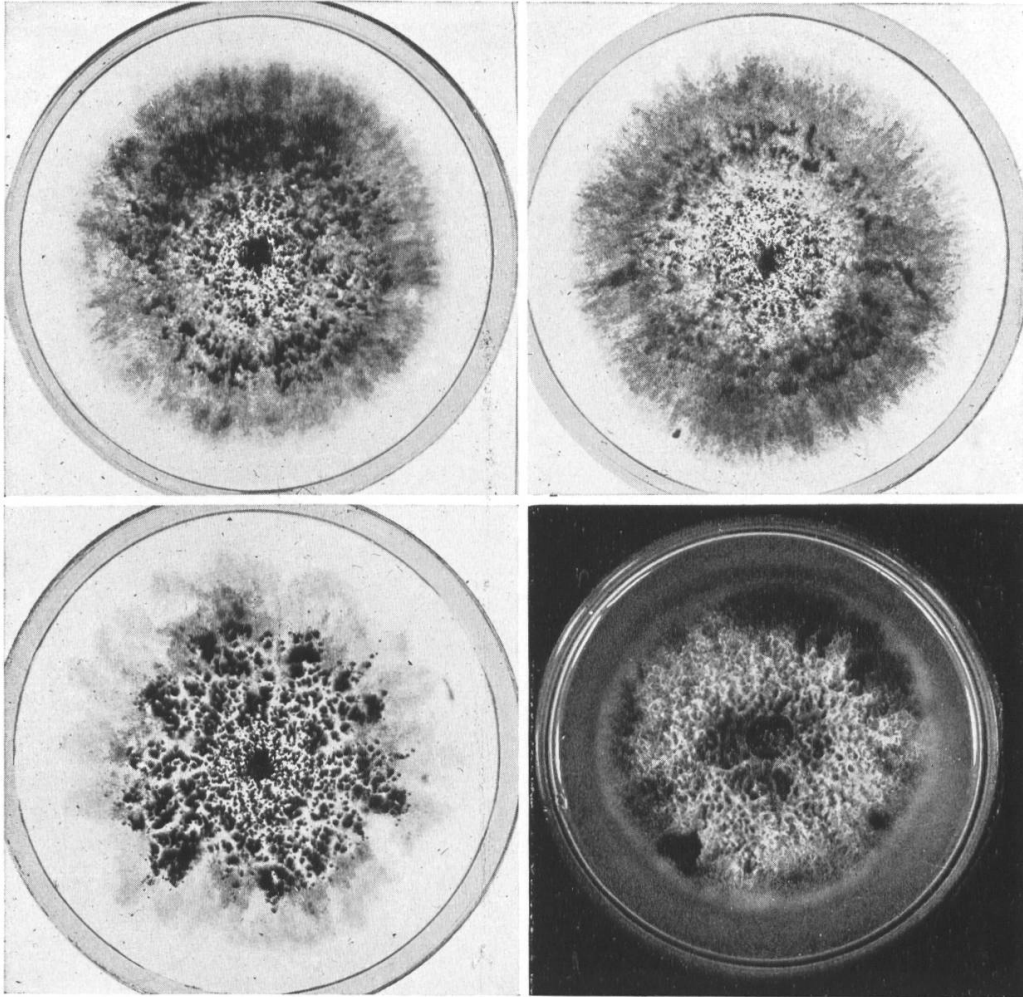


Fig. 50. — Cultures en haut, à gauche, de α sur Coonagar maltose ; à droite, idem ; mais d'une autre souche d' α . — En bas, à gauche, α sur Coonagar-galactose ; à droite, γ sur Coonagar-saccharose.

Planche XIII.

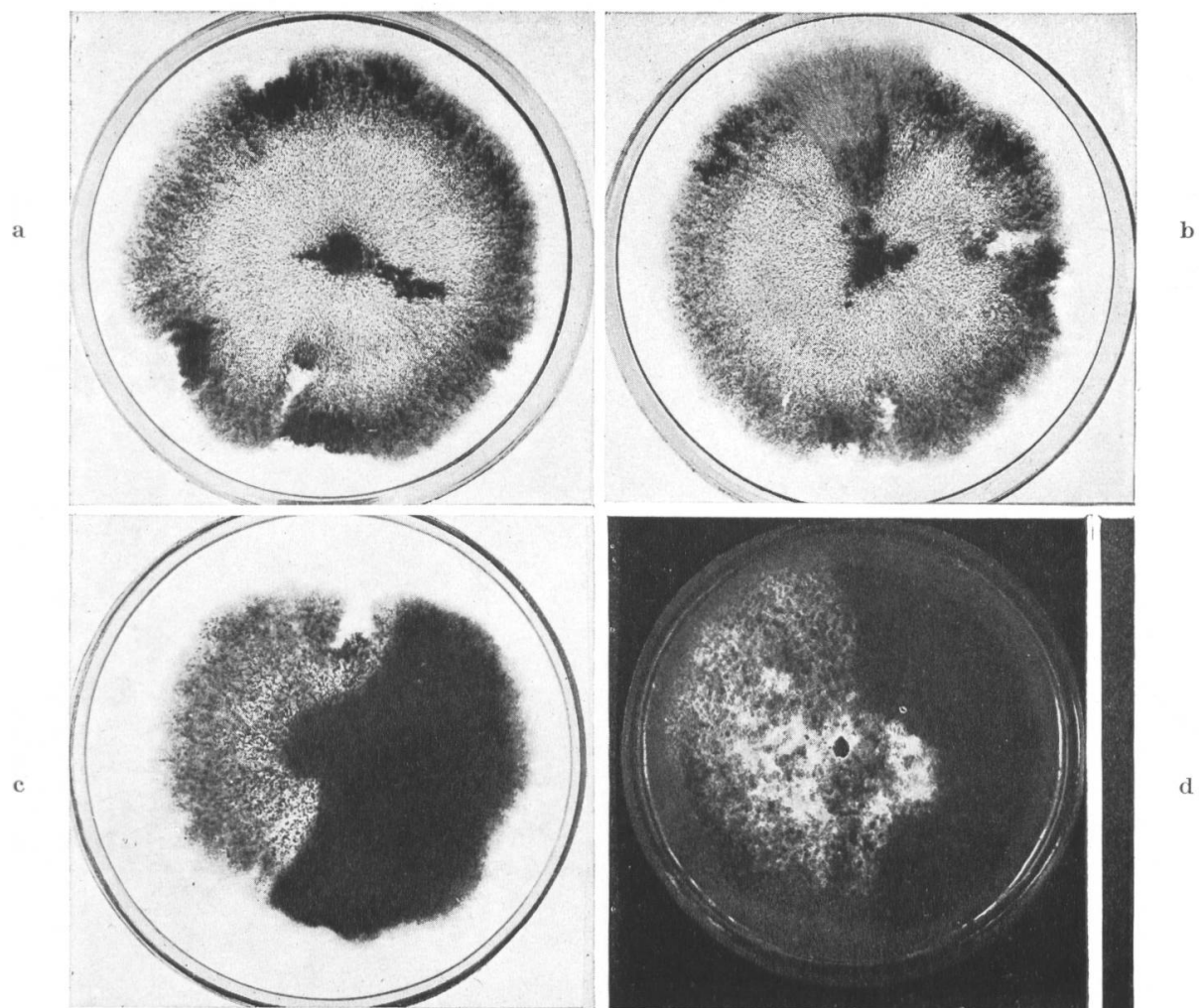


Fig. 51. — Culture en haut à gauche (a) du *P. alternariacearum* γ sur Coonagar-maltose ; à droite (b) colonie sectorienne No 72, idem, mais d'une autre souche. — En bas, à gauche (c) colonie sectorienne No 13, race γ sur Coonagar-saccharose ; à droite, (d) race γ sur Coonagar-galactose ; colonie sectorienne No 14.